

مطالعه آزمایشگاهی نقش شرایط کیورینگ بر مقاومت فشاری بتن ژئوپلیمری بر پایه متاکاؤلن

علیرضا سپهری^۱، امیر بهادر مرادی خو^۲

- ۱- کارشناس ارشد مهندسی زلزله، دانشگاه آزاد اسلامی، واحد علوم تحقیقات، باشگاه پژوهشگران جوان و نخبگان، تهران، ایران.
۲- کارشناس ارشد مهندسی سازه، دانشگاه آزاد اسلامی، واحد علوم تحقیقات، باشگاه پژوهشگران جوان و نخبگان، تهران، ایران.

آدرس پست الکترونیکی نویسنده رابط : amirbahador.mk@gmail.com

چکیده

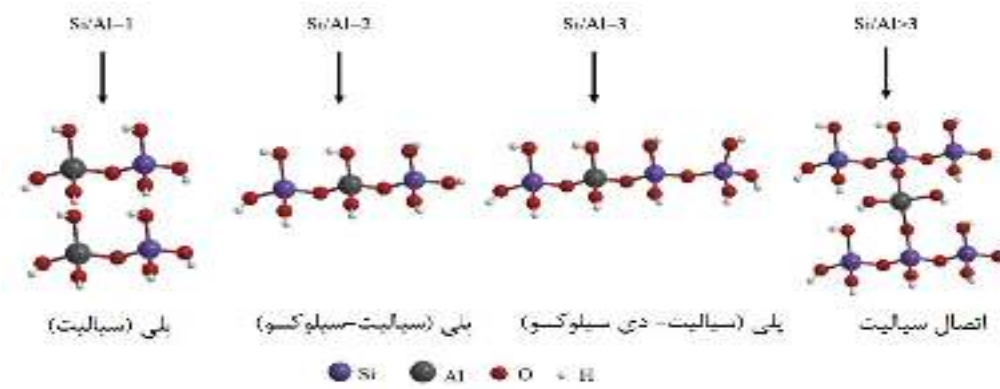
در سال‌های اخیر ژئوپلیمر به عنوان جایگزینی سبز و مناسب برای سیمان پرتلند مطرح شده است. پارامترهای متعددی بر مقاومت فشاری بتن‌های ژئوپلیمری تاثیرگذارند. یکی از این پارامترها شرایط کیورینگ شامل: دما و زمان کیورینگ، است. در این مقاله به بررسی نقش شرایط کیورینگ بر مقاومت فشاری بتن ژئوپلیمری بر پایه خاکستر بادی، پرداخته شد. به همین منظور نمونه‌های بتن ژئوپلیمری در شرایط مختلف دمایی (۶۰، ۸۰، ۹۰، ۷۰ و ۱۰۰ درجه سانتی‌گراد) و زمانی (۱۲، ۲۴، ۳۶ و ۴۸ ساعت) عمل آوری شدند و از نمونه‌ها آزمون مقاومت فشاری گرفته شد تا تاثیر شرایط کیورینگ بر مقاومت فشاری بررسی شود. نتایج نشان داد افزایش زمان و دمای کیورینگ سبب افزایش مقاومت فشاری می‌شود.

کلمات کلیدی: بتن ژئوپلیمری، خاکستر بادی، دمای کیورینگ، زمان کیورینگ، مقاومت فشاری.

۱. مقدمه

تفییرات اقلیمی ناشی از پدیده گرمایش جهانی به یکی از جدی‌ترین نگرانی‌های محیط زیستی در سراسر جهان تبدیل شده است. علت اصلی پدیده گرمایش جهانی انتشار گازهای گلخانه‌ای است و در میان گازهای گلخانه‌ای دی اکسید کربن^۱ با میزان انتشار ۶۵ درصد، بیشترین نقش را در پدیده گرمایش جهانی دارد [۱ و ۲]. فرایند تولید سیمان پرتلند معمولی به عنوان یکی از منابع انتشار گاز دی اکسید کربن و گرمایش جهانی شناخته می‌شود [۳ و ۴] زیرا برای تولید ۱ تن سیمان پرتلند تقریباً ۱ تن دی اکسید کربن تولید می‌شود [۵ و ۶]. همچنین تولید سیمان پرتلند عامل انتشار ۷ تا ۱۰ درصد از انتشار جهانی گاز

دی اکسید کربن است [۳ و ۷ و ۸]. از این رو نیاز به استفاده از جایگزین برای سیمان پرتلند ضروری به نظر می‌رسد. در سال‌های اخیر ژئوپلیمر به عنوان یک عامل سیمانی جدید و دوستدار محیط زیست، به عنوان جایگزینی برای سیمان پرتلند مطرح شده است که می‌تواند منجر به کاهش مشکلات زیست محیطی ناشی از تولید سیمان پرتلند شود [۹]. ژئوپلیمر برای اولین بار در سال ۱۹۷۸ میلادی توسط Davidovits شیمیدان فرانسوی، به عنوان بایندرهای جدیدی از خانواده پلیمرهای معدنی معرفی شد [۱۰]. وی همچنین استفاده از نام poly(sialate) را برای شناسایی شیمیایی ژئوپلیمرها پیشنهاد کرد که عبارت "poly" پیشوند پلیمری و "sialate" نیز مخفف زنجیره silicon-oxo-aluminate است [۱۱-۱۴]. در شکل ۱ انواع مختلف poly(sialate) نشان داده شده است.



شکل ۱- ساختار شیمیایی poly(sialate) ها

ژئوپلیمرها مواد آلومیناسیلیکاتی غیرآلی هستند که از ترکیب منبع اولیه ژئوپلیمریزاسیون (منبع آلومیناسیلیکاتی) غنی از سیلیکا (SiO_4) و آلومینا (Al_2O_3) با یک محلول قلیایی فعال کننده حاصل می‌شوند [۱۵]. ژئوپلیمریزاسیون واکنش سریع شیمیایی در شرایط قلیایی بین میترال‌های Si و Al است که باعث تشکیل زنجیره‌های سه بعدی پلیمری $\text{Si}-\text{O}-\text{Al}-\text{O}$ می‌شود [۱۶]. از نقطه نظر خواص مهندسی مورد نیاز در مهندسی عمران، بتن‌های ژئوپلیمری خصوصیات مکانیکی و شیمیایی بهتری نسبت به بتن‌های معمولی دارند که از جمله آنها می‌توان مقاومت فشاری، خمی و کششی بالا [۱۷-۱۹]، مقاومت در آتش سوزی و حرارت بالا [۲۰-۲۳]، نفوذپذیری کم و مقاومت در برابر حمله نمک‌ها و اسیدها [۲۴ و ۲۵] و خوش پایین [۲۵] اشاره کرد. منبع آلومیناسیلیکاتی بسته به خواص مورد نیاز، هزنه و در دسترس بودن می‌تواند طبیعی مانند زئولیت، صنعتی مانند متاکائولن و یا ضایعاتی مانند خاکستر بادی یا سرباره کوره آهن گدازی باشد. یکی از انواع منبع آلومیناسیلیکاتی خاکستر بادی است. یکی از منابع آلومیناسیلیکاتی مورد استفاده در ساخت بتن و سیمان‌های ژئوپلیمری متاکائولن است. متاکائولن از کلسینه کردن کائولن در دمای $600 - 800$ درجه سانتی‌گراد به دست می‌آید. در این مقاله از متاکائولن به عنوان منبع آلومیناسیلیکاتی برای ساخت بتن استفاده شد.

محلول فعال کننده قلیایی به عنوان یکی از دو بخش اصلی ژئوپلیمرها نقش مهمی را در تجزیه و تشکیل ساختار کریستالی Si و Al ایفا می‌کند و معمولاً بر مبنای سدیم یا پتاسیم که از فلزات قلیایی حلال هستند، انتخاب می‌شود. رایج‌ترین محلول قلیایی مورد استفاده در ژئوپلیمریزاسیون، ترکیبی از محلول هیدروکسید سدیم^۱ یا پتاسیم^۲ با محلول سیلیکات سدیم یا پتاسیم است [۱۷]. در این مقاله از محلول هیدروکسید سدیم و سیلیکات سدیم به عنوان محلول فعال کننده قلیایی استفاده شد.

پژوهشگران پارامترهای مختلفی را به عنوان پارامترهای تاثیرگذار بر مقاومت فشاری بتن ژئوپلیمری مورد مطالعه قرار داده‌اند که از جمله آنها می‌توان به نوع محلول فعال کننده قلیایی، غلظت محلول قلیایی، غلظت محلول هیدروکسید سدیم یا پتاسیم، کیورینگ، نوع منبع آلومیناسیلیکاتی، محتوای اکسیدهای

Raw material^۱

NaOH^۲

KOH^۳

منبع آلمیناسیلیکاتی، میزان آب موجود در طرح اختلاط بتن، اندازه ذرات وغیره را نام برد [۱۴ و ۲۱ و ۲۸-۲۶]. یکی از پارامترهای تاثیرگذار بر مقاومت فشاری بتن های ژئوپلیمری که در این پژوهش مورد مطالعه قرار گرفت، کیورینگ است که خود شامل دو فاکتور دما و زمان کیورینگ است. در این زمینه پژوهش هایی توسط محققان انجام شده است که در ادامه به اختصار به آنها پرداخته می شود. Palomo و دیگران [۲۴] در پژوهش در مورد نقش کیورینگ بر مقاومت فشاری بتن ژئوپلیمری بر پایه خاکستر بادی نتیجه گیری کردند که افزایش دمای کیورینگ روند ژئوپلیمریزاسیون را سرعت می بخشد و به همراه فاکتور زمان کیورینگ نقش مستقیم بر مقاومت های مکانیکی بتن دارد. این پژوهشگران عنوان کردند که دما و زمان پیشر گیرینگ سبب دستیابی به مقاومت فشاری بیشتر بتن می شود. van Jaarsveld و همکاران [۱۴] نیز در پژوهشی در این رابطه نتیجه گیری کردند که کیورینگ از پارامترهای تاثیرگذار بر مقاومت فشاری ژئوپلیمرها است. این پژوهشگران از دماهای خیلی بالا نیز برای کیورینگ نمونه های بتن ژئوپلیمری استفاده کردند و دریافتند این شرایط کیورینگ به دلیل ایجاد ترک تاثیر منفی بر خواص بتن دارد و در پایان دماهای میانه را برای کیورینگ بتن ژئوپلیمری پیشنهاد کردند. Hardjito و همکاران [۱۷] نیز در پژوهش خود این نقش این پارامتر را بر مقاومت فشاری بتن ژئوپلیمری بر پایه خاکستر بادی مورد بررسی قرار داده و علاوه بر تاثیرگذار بودن این پارامتر نتیجه گیری کردند که افزایش دمای کیورینگ سبب افزایش مقاومت فشاری بتن می شود اما در دماهای بالاتر از ۶۰ درجه سانتی گراد هیچ تغییر قابل ملاحظه ای در مقاومت فشاری بتن دیده نمی شود در حالی که Satpute Manesh و همکاران [۲۹] نتیجه گیری کردند که در دمای بالاتر از ۱۲۰ درجه سانتی گراد، مقاومت فشاری بتن افزایش قابل ملاحظه ای پیدا نمی کند. در رابطه با زمان کیورینگ Palomo و دیگران [۲۴] نتیجه گیری کردند که با افزایش زمان کیورینگ مقاومت فشاری بتن ژئوپلیمری افزایش می یابد. Hardjito و همکاران [۱۷] نیز در پژوهش خود نتیجه گیری کردند با زمان کیورینگ تا ۲۴ ساعت مقاومت فشاری بتن ژئوپلیمری افزایش می یابد اما در زمان های بیشتر ۲۴ ساعت تغییر قابل ملاحظه ای در مقاومت فشاری اتفاق نمی افتد در حالی که Ahmed و همکاران [۳۰] نتیجه گیری در زمان های بیشتر ۴۸ ساعت تغییر محسوسی در مقاومت فشاری دیده نمی شود.

در این پژوهش آزمایشگاهی سعی شد که در حد توان نقش شرایط کیورینگ بر مقاومت فشاری بتن ژئوپلیمری بر پایه خاکستر بادی کلاس F، مورد مطالعه قرار گیرد. در همین راستا دو فاکتور دما و زمان کیورینگ مورد بررسی قرار گرفت. نمونه های بتن ژئوپلیمری در شرایط مختلف دمایی و زمانی کیورینگ قرار گرفتند و از نمونه ها آزمون مقاومت فشاری بر اساس استاندارد BS1881: Part 11۶ گرفته شد. در پایان نتایج بدست آمده گردآوری و تجزیه تحلیل شدند.

۲. مواد

منبع اصلی ژئوپلیمریزاسیون در این مقاله متاکائولن بود که آنالیز XRF آن در جدول ۱ و تصویر آن در شکل ۲ ارائه شده است. هیدروکسید سدیم (NaOH) با خلوص ۹۸ درصد از شرکت قطران شیمی خریداری شد. محلول سیلیکات سدیم مایع با نسبت SiO₂ به Na₂O برابر با ۲، از شرکت بتن زیست فناور خریداری شد. آنالیز این ۲ ماده در جدول ۲ ارائه شده است. شن و ماسه مصرفی از معادن اطراف شهریار تهیه شد. شن مصرفی از نوع شن شکسته بود که پس از تهیه، توسط الک استاندارد ASTM D11۶ دانه بندی شد. در این پژوهش، از شن در ۲ اندازه ۱۰ و ۷ میلی متری استفاده شد. آزمایش وزن مخصوص و جذب آب مطابق با استاندارد ASTM C12۷ [۳۱] از شن مصرفی، گرفته شد. این آزمایش از ماسه نیز مطابق با استاندارد ASTM C12۸ [۳۲]، به عمل آمد که نتایج آن در جدول ۳ ارائه شده است. همچنین ضریب نرمی ماسه مطابق با استاندارد ASTM C13۶ [۳۳]، میزان رد شده از الک شماره ۲۰۰، ۰/۷۲ درصد و ارزش ماسه ای نیز بر اساس استاندارد ASTM D24۱۹ [۳۴]، ۷۳ اندازه گیری شد. آب مصرفی نیز آب لوله کشی شهر تهران بود. روان کننده مورد استفاده نیز از نوع پلی کربوکسیلاتی با وزن مخصوص ۱/۱ گرم بر سانتی متر مکعب، بود که از کلینیک تخصصی بتن خریداری شده بود.

جدول ۱- آنالیز XRF متاکائولن

SiO ₂	Al ₂ O ₃	CaO	TiO ₂	Fe ₂ O ₃	ZrO ₂	K ₂ O	Na ₂ O	MnO	L.O.I
54.45	30.21	1.23	1.41	4.89	0.10	4.05	2.32	0.11	1.41



شکل ۲- تصویر متابولن

جدول ۲ - آنالیز شیمایی محلول‌های هیدروکسی‌سید سدیم و سیلیکات سدیم

NaOH			Na ₄ SiO ₇		
Chemical substance	Result	Unit	Chemical substance	Result	Unit
NaOH	98	%			
Na ₂ CO ₃	1	%	SiO ₇	30.00	%
NaCl	200	ppm	Na ₂ O	14.50	%
Fe	6	ppm	Water	55.50	%
SiO ₇	15.7	ppm			
Appearance	White flake		Appearance	Clear liquid	

جدول ۳ - جذب آب و وزن مخصوص سنتگدانه‌ها

Material	SSD Specific gravity (gr/cm ³)	Water absorption (%)
Coarse aggregates	2.62	1.3
Fine aggregates	2.59	3.2

۳. روش آزمایشگاهی

پس از انجام آزمایش‌های اولیه و استفاده از نتایج تحقیقات قبلی طرح اختلاط بتن ژئوپلیمری انتخاب شد. این طرح در جدول ۴ ارائه شده است.

جدول ۴ - طرح های اختلاط بتن ژئوپلیمری

متاکاثولن	هیدروکسید سدیم	سیلیکات سدیم	شن	ماسه	روان کننده	آب اضافه	مقیاس
350	140	210	840	840	14	30	Kg/m ³

در این طرح اختلاط:

- نسبت وزنی محلول سیلیکات سدیم به هیدروکسید سدیم برابر با $1/5$ است.
- میزان روان کننده 4 درصد وزنی متاکاثولن است.
- نسبت شن به ماسه برابر 1 است.
- نسبت شن 7 به 10 میلی متری برابر 1 است.
- نسبت سنگدانه به سنگدانه $2/0$ است.
- نسبت سنگدانه به وزن کل بتن 80 درصد است.

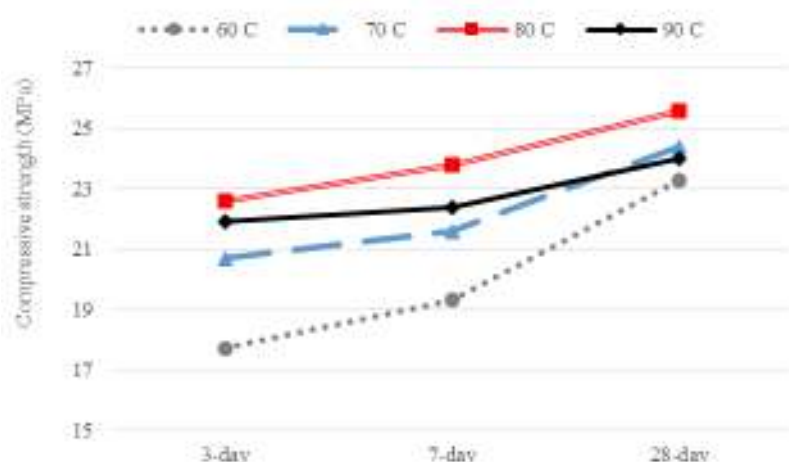
ابتدا محلول هیدروکسید سدیم با غلظت 14 مولار آماده شد. برای تهیه هر لیتر محلول هیدروکسید سدیم 14 مولار با توجه به وزن مولی هیدروکسید سدیم 40 گرم بر مول است، 540 گرم هیدروکسید سدیم خشک در بشر مدرج ریخته شد سپس به آرامی آب به بشر اضافه شد تا حجم محلول به 1 لیتر برسد. محلول هیدروکسید سدیم به مدت 2 ساعت توسط استیرر هم زده شد تا کاملا حل و شفاف شود. پس از آماده شدن محلول هیدروکسید سدیم 14 مولار، این محلول با محلول سیلیکات سدیم مابع، آب اضافه و روان کننده مطابق با طرح اختلاط بتن، ترکیب شد تا محلول فعال کننده قلیایی حاصل شود. به محلول فعال کننده قلیایی 24 ساعت زمان داده شد تا سرد شود. در روز آزمایش ابتدا مواد خشک شامل متاکاثولن، شن و ماسه از زیر به درشت در میکسر پرتایپ بتن ریخته و به مدت 3 دقیقه به صورت خشک میکس شدند. سپس در ادامه محلول فعال کننده قلیایی به مخلوط بتن اضافه شد و به مدت 3 دقیقه میکس شدند. پس از اتمام میکس، نمونه های فشاری بتن مطابق با استاندارد ASTM C116 قالب بندی شدند. به منظور تراکم نمونه ها به مدت 10 ثانیه روی میز ویره، تراکم شدند. دمای کیورینگ مورد پژوهش در این مقاله 60 ، 70 ، 80 و 90 درجه سانتی گراد بود. به منظور بررسی این فاکتور، در بخش اول نمونه ها به مدت 24 ساعت در این دمای کیورینگ شدند. پس از پایان کیورینگ نمونه ها در دمای محیط آزمایشگاه قرار گرفتند. از نمونه ها آزمون مقاومت فشاری مطابق با استاندارد BS1881: Part116 [۳۵] گرفته شد. پس از مشخص شدن نتایج این بخش در بخش بعدی به منظور بررسی فاکتور زمان کیورینگ، نمونه ها در دمای 80 درجه سانتی گراد و به مدت 12 ، 24 و 48 ساعت کیورینگ شدند و نمونه ها در پایان زمان کیورینگ از آن خارج و در دمای محیط آزمایشگاه قرار گرفتند. از نمونه ها آزمون مقاومت فشاری مطابق با استاندارد BS1881: Part116 [۳۵] گرفته شد. نتایج آزمون مقاومت فشاری 3 ، 7 و 28 روزه در بخش نتایج و بحث ارائه خواهد شد.

۴. نتایج و بحث

نتایج بخش اول مربوط به بررسی اثر دمای کیورینگ بر مقاومت فشاری 3 و 7 روزه بتن ژئوپلیمری بر پایه متاکاثولن در شکل 3 ارائه شده است. نتایج شکل 3 نشان داد با افزایش دمای کیورینگ از 60 تا 80 درجه سانتی گراد، مقاومت فشاری 3 ، 7 و 28 روزه بتن افزایش یافت و این افزایش مقاومت در مقاومت فشاری 3 و 7 روزه بسیار محسوس تر بود. همچنین با توجه به نتایج مشاهد شد که برخلاف مقاومت فشاری 3 و 7 روزه، مقاومت 28 روزه نمونه ها به هم نزدیک بود.

افزایش دمای کیورینگ سبب افزایش نسبی میزان ژئوپلیمریزاسیون و افزایش قابل ملاحظه سرعت روند ژئوپلیمریزاسیون می شود [۱۶، ۳۰ و ۳۵]. با افزایش سرعت روند ژئوپلیمریزاسیون، بتن ژئوپلیمری درصد بیشتری از مقاومت خود را در سنین بایین کسب می کند. در نتیجه میزان مقاومت زودرس در بتن ژئوپلیمری بیشتر می شود. در واقع به همین دلیل است که بهبود مقاومت فشاری با افزایش دمای کیورینگ، در مقاومت 3 و 7 روزه محسوس تر و قابل ملاحظه تر است. اما از سوی دیگر، افزایش بیشتر دما به 90 درجه سانتی گراد اگرچه سبب بهبود مقاومت فشاری 3 و 7 روزه نمونه ها شد اما موجب کاهش

مقاومت فشاری ۲۸ روزه نمونه ها شد. افزایش دما به بیش از دمای بهینه، سبب افزایش حفره ها و تخلخل در بتون به دلیل شکل گرفتن بسیار سریع ساختار ژئوپلیمری، می شود. در نتیجه مقاومت فشاری بتون ژئوپلیمری کاهش می یابد [۳۶]. جدول ۵ درصد کسب مقاومت نهایی (۲۸ روزه) در سن ۳ و ۷ روزگی نمونه ها را در دماهای مختلف کیورینگ نشان می دهد. همچنین تصویر نمونه بتون ژئوپلیمری نیز در شکل ۴ ارائه شده است.



شکل ۳- تأثیر دمای های مختلف کیورینگ بر مقاومت فشاری بتون ژئوپلیمری (زمان کیورینگ ۲۴ ساعت)

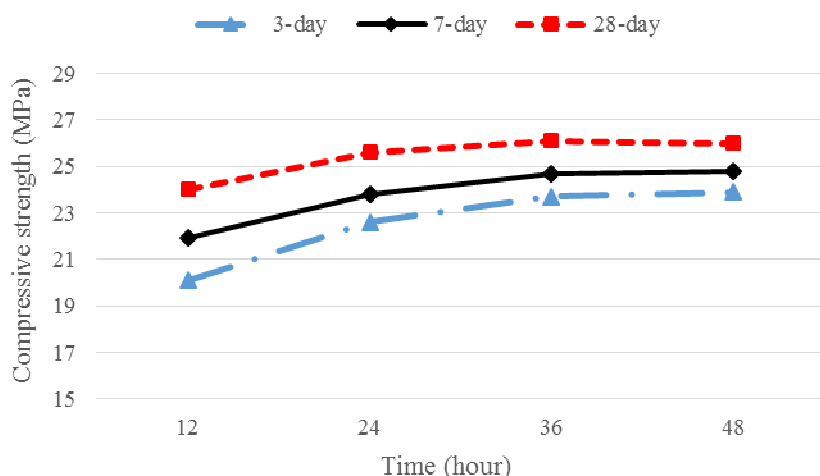
جدول ۵- نقش دمای کیورینگ بر مقاومت زودرس بتون ژئوپلیمری بر پایه متاکائولن

درصد کسب مقاومت نهایی (۲۸ روزه) در سن ۳ روزگی	درصد کسب مقاومت نهایی (۲۸ روزه) در سن ۷ روزگی	درصد کسب مقاومت نهایی (۲۸ روزه) در سن ۲۸ روزگی	دماهای کیورینگ نهایی (۲۸ روزه) در درجه سانتی گراد	تغییرات مقاومت فشاری درجه سانتی گراد (%)	تغییرات مقاومت فشاری درجه سانتی گراد (%)	تغییرات مقاومت فشاری درجه سانتی گراد (%)
83	89	94	60	-	-	-
89	93	94	70	5	12	17
93	94	91	80	10	23	28
91	-	-	90	3	16	24



شکل ۴- تصویر نمونه ساخته شده بتون ژئوپلیمری بر پایه متاکائولن

نتایج بخش دوم در خصوص تاثیر زمان کیورینگ بر مقاومت فشاری ۷ و ۲۸ روزه بتن ژئوپلیمری بر پایه متاکاتولن در شکل ۵ ارائه شده است. نتایج شکل ۵ نشان می‌دهد در دمای ۸۰ درجه سانتی گراد، با افزایش زمان کیورینگ از ۱۲ تا ۳۶ ساعت مقاومت فشاری ۳، ۷ و ۲۸ روزه بتن نیز افزایش می‌یابد. این موضوع نیز می‌تواند مربوط نقش حرارت در تسريع روند و میزان واکنش ژئوپلیمریزاسیون باشد [۱۴ و ۱۷]. با افزایش زمان کیورینگ از ۱۲ ساعت تا ۳۶ ساعت مقاومت فشاری به طور قابل ملاحظه‌ای افزایش می‌یابد اما برخلاف دمای کیورینگ، این افزایش مقاومت در هر ۳ مقاومت فشاری ۳، ۷ و ۲۸ روزه محسوس و قابل ملاحظه است. همچنین با توجه به جدول ۶ با افزایش زمان کیورینگ درصد مقاومت‌های زودرس بتن ژئوپلیمری نیز افزایش می‌یابد. اما بعد از ۳۶ ساعت، با افزایش زمان کیورینگ از ۳۶ ساعت به ۴۸ ساعت، تغیرات مقاومت فشاری ۳ و ۷ و ۲۸ روزه به میزان تقریباً ۱ درصد افزایش می‌یابد. در واقع می‌توان گفت افزایش زمان کیورینگ بیشتر از ۳۶ ساعت، باعث ایجاد تغییر قابل ملاحظه‌ای در مقاومت فشاری بتن نمی‌شود. این نتیجه با نتایج Hardjito و همکاران [۱۷] مطابقت و با Ahmed و همکاران [۳۰] نتایج مطابقت ندارد.



شکل ۵- تاثیر زمان‌های مختلف کورینگ بر مقاومت فشاری بتن ژئوپلیمری (دمای کیورینگ ۸۰ درجه سانتی گراد)

جدول ۶- نقش زمان کیورینگ بر مقاومت زودرس بتن ژئوپلیمری بر پایه متاکاتولن

زمان کیورینگ (ساعت)	درصد کسب مقاومت نهایی (۲۸ روزه) در نهایی (۲۸ روزه) در	درصد کسب مقاومت نهایی (۲۸ روزه) در	تغییرات مقاومت فشاری نهایی (۲۸ روزه) در	تغییرات مقاومت فشاری نهایی (۲۸ روزه) در	تغییرات مقاومت فشاری نهایی (۲۸ روزه) در	درصد کسب مقاومت نهایی (۲۸ روزه) در
12	-	-	-	-	-	91
24	7	9	13	13	13	93
36	9	13	18	18	18	94
48	8	13	19	19	19	95

۵. نتیجه‌گیری

در این مقاله سعی شد در حد توان به مطالعه نقش کیورینگ بر مقاومت فشاری^۳، ۷ و ۲۸ روزه بتن ژئوپلیمری و همچنین مقاومت زودرس این بتن پرداخته شود. در همین راستا پس از تنظیم برنامه آزمایشگاهی و بررسی دو فاکتور کیورینگ یعنی زمان و دماه کیورینگ و انجام آزمایش‌های مقاومت فشاری، نتایج این آزمایش‌ها گردآوری و تجزیه تحلیل شد و در پایان موارد زیر به عنوان نتایج مشخص این مقاله ارائه می‌شود:

- پارامتر کیورینگ از فاکتورهای تاثیرگذار بر مقاومت فشاری بتن ژئوپلیمری بر پایه متاکائولن است. این پارامتر شامل دو فاکتور دما و زمان کیورینگ است.
- افزایش دماه کیورینگ از ۶۰ تا ۸۰ درجه سانتی گراد، سبب افزایش مقاومت فشاری^۳ و ۷ و ۲۸ روزه بتن ژئوپلیمری بر پایه متاکائولن می‌شود اما این افزایش مقاومت فشاری در مقاومت فشاری^۳ و ۷ روزه محسوس‌تر است. همچنین افزایش بیشتر دما تا ۹۰ درجه سانتی گراد سبب کاهش مقاومت فشاری ۲۸ روزه می‌شود.
- افزایش دماه کیورینگ سبب افزایش مقاومت زودرس (Early strength) بتن ژئوپلیمری بر پایه متاکائولن می‌شود.
- افزایش زمان کیورینگ سبب افزایش مقاومت فشاری^۳ و ۷ و ۲۸ روزه بتن ژئوپلیمری بر پایه متاکائولن می‌شود و بر خلاف افزایش دما، این افزایش مقاومت فشاری در هر ۳ مقاومت فشاری^۳ و ۷ و ۲۸ روزه قابل ملاحظه است. همچنین با افزایش زمان کیورینگ به بیش از ۳۶ ساعت، تغییر قابل ملاحظه‌ای در مقاومت فشاری^۳، ۷ و ۲۸ روزه بتن دیده نمی‌شود.
- مشابه با افزایش دماه کیورینگ، افزایش زمان کیورینگ سبب افزایش مقاومت زودرس (Early strength) بتن ژئوپلیمری بر پایه متاکائولن می‌شود.

۶. مراجع

- [۱] Phummiphana, I., Horpibulsuk, S., Rachan, R., Arulrajah, A., Shen, S.L. and Chindaprasirt, P. (۲۰۱۸). "High calcium fly ash geopolymers stabilized lateritic soil and granulated blast furnace slag blends as a pavement base material". *J. Hazard. Mater.*, Vol. ۳۴۱, pp ۲۵۷–۲۶۷.
- [۲] McCaffrey, R. (۲۰۰۲). "Climate change and the cement industry". *Global. Cem. Lime Mag*, pp ۱۵–۹.
- [۳] Andrejkovičová, S., Sudagar, A., Rocha, J., Patinha, C., Hajjaji, W., Ferreira da Silva, E., Velosa, A., and Rocha, F. (۲۰۱۷). "The effect of natural zeolite on microstructure, mechanical and heavy metals adsorption properties of metakaolin based geopolymers". *Appl. Clay Sci.*, Vol. ۱۲۶, pp ۱۴۱–۱۵۲.
- [۴] Neupane, K., Chalmers, D. and Kidd, P. (۲۰۱۸). "High-Strength Geopolymer Concrete-Properties, Advantages and Challenges". *Advances in Materials*, Vol. ۷(۲), pp ۱۵–۲۵.
- [۵] Assi, L.N., Deaver, E. and Ziehl, P. (۲۰۱۸). "Effect of source and particle size distribution on the mechanical and microstructural properties of fly Ash-Based geopolymers concrete". *Constr. Build. Mater.*, Vol. ۱۶۷, pp ۳۷۲–۳۸۰.
- [۶] Davidovits, J. (۲۰۱۳). "Geopolymer Cement Geopolymer Cement". a review.
- [۷] Meyer, C. (۲۰۰۹). "The greening of the concrete industry". *Cem. Concr. Compos.*, Vol. ۳۱(۸), pp 601–605.
- [۸] Chen, C., Habert, G., Bouzidi, Y. and Jullien, A. (۲۰۱۰). "Environmental impact of cement production: detail of the different processes and cement plant variability evaluation". *J. Clean. Prod.*, Vol. ۱۸, pp ۴۷۸–۴۸۵.

- [⁹] Bashir, I., Kapoor, K. and Sood, H. (2018). “An Experimental Investigation on the Mechanical Properties of Geopolymer Concrete”. International Journal of Latest Research in Science and Technology, Vol. 6(3), pp 33-37.
- [¹⁰] Ekinci, E., Türkmen, I., Kantarci, F. and Karakoç, M.B. (2019). “The improvement of mechanical, physical and durability characteristics of volcanic tuff based geopolymer concrete by using nano silica, micro silica and Styrene-Butadiene Latex additives at different ratios”. Constr. Build. Mater, Vol. 201, pp 257-267.
- [¹¹] Davidovits, J. (1988a). “Soft Mineralurgy and Geopolymers”. Paper presented at the Geopolymer '88, First European Conference on Soft Mineralurgy, Compiegne, France.
- [¹²] Davidovits, J. (1988b). “Geopolymer Chemistry and Properties”. Paper presented at the Geopolymer '88, First European Conference on Soft Mineralurgy, Compiegne, France.
- [¹³] Davidovits, J. (1991). “Geopolymers: Inorganic Polymeric New Materials”. J. Therm. Anal, Vol. 37, pp 1633-1656.
- [¹⁴] Van Jaarsveld, J.G.S., van Deventer, J.S.J. and Lukey, G.C. (2002). “The effect of composition and temperature on the properties of fly ash- and kaolinite-based geopolymers”. Chem. Eng. J, Vol. 87(1-3), pp 63-73.
- [¹⁵] De Silva, P., Sagoe-Crenstil, K. and Sirivivatnanon, V. (2007). “Kinetics of geopolymerization: role of Al³⁺O⁴⁻ and SiO⁴⁻”. Cem. Concr, Vol. 37(4), pp 512-518.
- [¹⁶] Davidovits, J., (1991), “Chemistry of Geopolymeric Systems, Terminology”. Geopolymer '91 International Conference, France.
- [¹⁷] Hardjito, D., Wallah, S.E., Sumajouw, D.M.J., and Rangan, B.V. (2004). “On the Development of Fly Ash-Based Geopolymer Concrete”. ACI Materials Journal, Vol. 101(7), pp 467-472.
- [¹⁸] Amnadnua, K., Tangchirapat, W. and Jaturapitakkul, C. (2013). “Strength, water permeability: and heat evolution of high strength concrete made from the mixture of calcium carbide residue and fly ash”. Mater. Des, Vol. 51, pp 894-901.
- [¹⁹] Duxson, P., Provis, J.L., Lukey, G.C. and van Deventer, J.S.J. (2007). “The Role of Inorganic Polymer Technology in the Development of Green Concrete”. Cement and Concrete Research, Vol. 37(12), pp 1590-1597.
- [²⁰] Lee, W.K.W. and van Deventer, J.S.J. (2002). “The effects of inorganic salt contamination on the strength and durability of geopolymers”. Colloids Surf, A 211, pp 15-126.
- [²¹] Cheng, T.W. and Chiu, J.P. (2003). “Fire-resistant geopolymer produced by granulated blast furnace slag”. Miner. Eng, Vol. 16(3), pp 205-210.
- [²²] Sakkas, K., Panias, D., Nomikos, P.P. and Sofianos, A.I. (2014). “Potassium based geopolymer for passive fire protection of concrete tunnels linings”, Tunnell .Underground Space Technol, Vol. 29, pp 148-156.
- [²³] Sarker, P.K., Kelly, S. and Yao, Z. (2014). “Effect of fire exposure on cracking: spalling and residual strength of fly ash geopolymer concrete”. Mater. Des, Vol. 63, pp 584-592.
- [²⁴] Palomo, A., Blanco-Varela, M.T., Granizo, M.L., Puertas, F., Vazquez, T. and Grutzbeck, M.W. (1999). “Chemical stability of cementitious materials based on metakaolin”. Cem. Concr. Res, Vol. 27(7), pp 997-1000.
- [²⁵] Zhang, M., Guo, H., El-Korchi, T., Zhang, G. and Tao, M. (2013). “Experimental feasibility study of geopolymer as the next-generation soil stabilizer”. Constr. Build. Mater, Vol. 47, pp 1468-1478.

- [۱۷] van Jaarsveld, J.G.S., van Deventer, J.S.J. and Lukey, G.C. (۲۰۰۳). “The Characterisation of Source Materials in Fly Ash-based Geopolymers”. *Materials Letters*, Vol. ۵۶(۴), pp ۱۲۷۲-۱۲۸۰.
- [۱۸] Barbosa, V.F.F., MacKenzie, K.J.D. and Thaumaturgo, C. (۲۰۰۳). “Synthesis and Characterisation of Materials Based on Inorganic Polymers of Alumina and Silica: Sodium Polysialate Polymers”. *International Journal of Inorganic Materials*, Vol. ۴(۴), pp ۳۰۹-۳۱۷.
- [۱۹] Xu, H. and van Deventer J.S.J. (۲۰۰۳). “The Geopolymerisation of Alumino-Silicate Minerals”. *International Journal of Mineral Processing*, Vol. ۵۹(۳), pp ۲۴۷-۲۶۶.
- [۲۰] Satpute Manesh B. and W.M. (۲۰۱۲). “Effect of Duration and Temperature of Curing on Compressive Strength of Geopolymer Concrete”. *International Journal of Engineering and Innovative Technology*, pp ۳۷۲-۳۹۱.
- [۲۱] Ahmed, M.N.S., Nuruddin, M., Demie, S. and Shafiq, N. (۲۰۱۱). “Effect of curing conditions on strength of fly ash based self-compacting geopolymer concrete”. *International Journal of Civil, Environmental, Structural, Construction and Architectural Engineering*, Vol. ۴(۸), pp ۸-۱۲.
- [۲۲] ASTM C۱۲۷-15, Standard Test Method for Relative Density (Specific Gravity) and Absorption of Coarse Aggregate, ASTM International, West Conshohocken, PA, ۲۰۱۵.
- [۲۳] ASTM C۱۲۸-15, Standard Test Method for Relative Density (Specific Gravity) and Absorption of Fine Aggregate, ASTM International, West Conshohocken, PA, ۲۰۱۵.
- [۲۴] ASTM C۱۳۶ / C۱۳۶M-14, Standard Test Method for Sieve Analysis of Fine and Coarse Aggregates, ASTM International, West Conshohocken, PA, ۲۰۱۴.
- [۲۵] ASTM D۲۴۱۹-14, Standard Test Method for Sand Equivalent Value of Soils and Fine Aggregate, ASTM International, West Conshohocken, PA, ۲۰۱۴.
- [۲۶] Muhammad, N., Baharom, S., Ghazali, N.A.M. and Alias, N.A. (۲۰۱۹). “Effect of Heat Curing Temperatures on Fly Ash-Based Geopolymer Concrete”. *International Journal of Engineering & Technology*, Vol. ۸(۱۲), pp ۱۵-۱۹.
- [۲۷] Rovnaník, P. (۲۰۱۰). “Effect of curing temperature on the development of hard structure of metakaolin-based geopolymer”. *Construction and Building Materials*. Vol. ۲۴(۷), pp ۱۱۷۲-۱۱۷۳.